

АНАЛОГИЯ МЕЖДУ ЗАДАЧАМИ О ПЛОСКОМ НАПРЯЖЕННОМ СОСТОЯНИИ
 И ОБ ИЗГИБЕ КРУГЛОЙ ПЛАСТИНЫ ПЕРЕМЕННОЙ ТОЛЩИНЫ
 ПРИ НЕСИММЕТРИЧНОЙ НАГРУЗКЕ

Д. В. Вайнберг

(Киев)

В заметке показано, что уравнение прогибов круглой пластины переменной толщины и уравнение для функции напряжений в случае плоской деформации при любой нагрузке могут быть записаны в виде одного обобщенного уравнения. Решив последнее, можно получить сразу решение задачи об изгибе пластины переменной толщины и задачи [о растяжении пластины, толщина которой меняется по иному, но определенному закону.

Дифференциальному уравнению изгиба тонких пластин можно придать в полярных координатах следующую форму:

$$D \Delta \Delta m + \frac{dD}{d\rho} \left[2 \frac{\partial^3 w}{\partial \rho^3} + \frac{2 + \nu}{\rho} \frac{\partial^2 w}{\partial \rho^2} - \frac{1}{\rho^2} \frac{\partial w}{\partial \rho} + \frac{2}{\rho^2} \frac{\partial^2 w}{\partial \rho \partial \theta^2} - \frac{3}{\rho^3} \frac{\partial^3 w}{\partial \theta^3} \right] + \frac{d^2 D}{d\rho^2} \left[\frac{\partial^2 w}{\partial \rho^2} + \nu \left(\frac{1}{\rho} \frac{\partial w}{\partial \rho} + \frac{1}{\rho^2} \frac{\partial^2 w}{\partial \theta^2} \right) \right] = q(\rho, \theta) \quad (1)$$

где w — прогиб [срединной плоскости пластины, $q(\rho, \theta)$ — интенсивность внешней поперечной нагрузки, $D = Eh^3 / 12(1 - \nu^2)$ — жесткость пластин при изгибе, предполагаемая функцией полярной координаты, h, E, ν — толщина пластины, модуль упругости, коэффициент Пуассона,

$$\Delta w = \left(\frac{\partial^2}{\partial \rho^2} + \frac{1}{\rho} \frac{\partial}{\partial \rho} + \frac{1}{\rho^2} \frac{\partial^2}{\partial \theta^2} \right) w \quad (2)$$

Интеграл уравнения (1), удовлетворяющий краевым условиям задачи, дает возможность определить усилия в пластине по известным формулам

$$M_\rho = -D_1 \left[\frac{\partial^2 w}{\partial \rho^2} + \nu \left(\frac{1}{\rho} \frac{\partial w}{\partial \rho} + \frac{1}{\rho^2} \frac{\partial^2 w}{\partial \rho^2} \right) \right] \quad (3)$$

$$M_\theta = -D \left[\frac{1}{\rho} \frac{\partial w}{\partial \rho} + \frac{1}{\rho^2} \frac{\partial^2 w}{\partial \theta^2} + \nu \frac{\partial^2 w}{\partial \rho^2} \right] \quad (4)$$

$$M_{\rho\theta} = (1 - \nu) D \left[\frac{1}{\rho} \frac{\partial^2 w}{\partial \rho \partial \theta} - \frac{1}{\rho^2} \frac{\partial w}{\partial \theta} \right] \quad (5)$$

С другой стороны, задача о плоском напряженном состоянии той же пластины переменного сечения приводится к определению функции напряжений $\varphi(\rho, \theta)$ из уравнения (предполагается, что деформация пластины может быть описана приближенно уравнением плоской задачи теории упругости)

$$N \Delta \Delta \varphi + \frac{dN}{d\rho} \left[2 \frac{\partial^3 \varphi}{\partial \rho^3} + \frac{2 - \nu}{\rho} \frac{\partial^2 \varphi}{\partial \rho^2} - \frac{1}{\rho^2} \frac{\partial \varphi}{\partial \rho} + \frac{2}{\rho^2} \frac{\partial^2 \varphi}{\partial \rho \partial \theta^2} - \frac{3}{\rho^3} \frac{\partial^3 \varphi}{\partial \theta^3} \right] + \frac{d^2 N}{d\rho^2} \left[\frac{\partial^2 \varphi}{\partial \rho^2} - \nu \left(\frac{1}{\rho} \frac{\partial \varphi}{\partial \rho} + \frac{1}{\rho^2} \frac{\partial^2 \varphi}{\partial \theta^2} \right) \right] = f(\rho, \theta) \quad (6)$$

где $N = N(\rho) = (Eh)^{-1}$ — величина, обратная жесткости пластины при растяжении, $f(\rho, \theta)$ — функция, зависящая от массовых сил, лежащих в срединной плоскости пластины.

Располагая функцией напряжений, удовлетворяющей уравнению (6) и крайвым условиям задачи, нетрудно определить:

нормальное радиальное усилие

$$P_r = \sigma_r h = \frac{1}{\rho} \frac{\partial \Phi}{\partial \rho} + \frac{1}{\rho^2} \frac{\partial^2 \Phi}{\partial \rho^2} \quad (7)$$

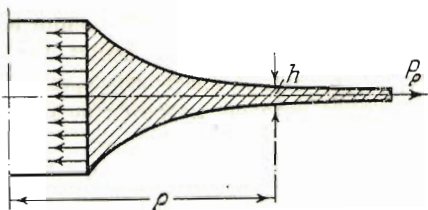
нормальное окружное усилие

$$P_\theta = \sigma_\theta h = \frac{\partial \Phi^2}{\partial \rho^2} \quad (8)$$

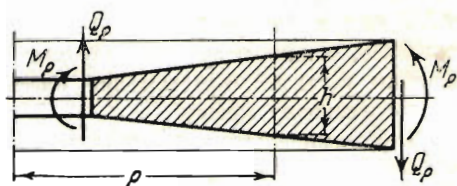
касательное усилие

$$T = \sigma_{r\theta} h = -\frac{\partial}{\partial \rho} \left(\frac{1}{\rho} \frac{\partial \Phi}{\partial \theta} \right) \quad (9)$$

Сравнивая между собой уравнение (1) относительно функции прогибов w и уравнение (6) относительно функции напряжений Φ , заключаем, что левые части этих



Фиг. 1



Фиг. 2

уравнений одинаковы по своей структуре и различаются только знаком при коэффициенте Пуассона и природой функций N и D , характеризующих жесткость пластины.

Поэтому обе задачи могут быть объединены в одном уравнении

$$D(\rho) \Delta \Delta \Phi + \frac{dD(\rho)}{d\rho} \left[2 \frac{\partial^3 \Phi}{\partial \rho^3} + \frac{2 + \kappa^*}{\rho} \frac{\partial^2 \Phi}{\partial \rho^2} - \frac{1}{\rho^2} \frac{\partial \Phi}{\partial \rho} + \frac{2}{\rho^2} \frac{\partial^3 \Phi}{\partial \rho \partial \theta^2} - \frac{3}{\rho^3} \frac{\partial^2 \Phi}{\partial \theta^2} \right] + \frac{d^2 D(\rho)}{d\rho^2} \left[\frac{\partial^2 \Phi}{\partial \rho^2} + \kappa^* \left(\frac{1}{\rho} \frac{\partial \Phi}{\partial \rho} + \frac{1}{\rho^2} \frac{\partial^2 \Phi}{\partial \theta^2} \right) \right] = \Phi(\rho, \theta) \quad (10)$$

Здесь введены функция усилий $\Phi(\rho, \theta)$, параметр κ^* и функция жесткости $D(\rho)$. В случае плоского напряженного состояния

$$\Phi(\rho, \theta) = \varphi, \quad \kappa^* = -\nu, \quad D(\rho) = (Eh)^{-1}$$

в задаче изгиба пластин

$$\Phi(\rho, \theta) = w, \quad \kappa^* = \nu, \quad D(\rho) = \frac{Eh^3}{12(1-\nu^2)}$$

Отыскав интеграл однородного уравнения (10) при определенной функции жесткости $D(\rho)$, мы тем самым получили одновременно функцию φ , характеризующую плоское напряженное состояние кольцевого диска, толщина которого h меняется по закону

$$h = \frac{1}{ED(\rho)} \quad (11)$$

и функцию прогибов w кольцевой или круглой пластины с толщиной, меняющейся по закону

$$h = \sqrt{\frac{12(1-\nu^2)}{E}} D^{1/3}(\rho) \quad (12)$$

Так, например, функция жесткости

$$D(\rho) = l\rho^2 \quad (13)$$

где l — постоянное число, соответствует в плоской задаче диску, толщина которого убывает к периферии (фиг. 1), а в случае изгиба — пластине, толщина которой возрастает к периферии (фиг. 2).

Каковы бы ни были краевые условия круглой или кольцевой пластины, решение однородного уравнения (10) целесообразно искать в виде ряда

$$\Phi(\rho, \theta) = \sum_{n=0}^{\infty} X_n(\rho) \cos n\theta \quad (14)$$

После подстановки (14) в (10) получим

$$\begin{aligned} DX_n^{IV} + 2\left(\frac{D}{\rho} + \frac{dD}{d\rho}\right) X_n''' + \left(\frac{d^2D}{d\rho^2} + \frac{2+\kappa^*}{\rho} \frac{dD}{d\rho} - \frac{1+2n}{\rho^2} D\right) X_n'' + \\ + \left(\frac{\kappa^*}{\rho} \frac{d^2D}{d\rho^2} - \frac{1+2n^2}{\rho^2} \frac{dD}{d\rho} + \frac{1+2n^2}{\rho^3} D\right) X_n' + \\ + n^2 \left(-\frac{\kappa^*}{\rho^2} \frac{d^2D}{d\rho^2} + \frac{3}{\rho^3} \frac{dD}{d\rho} + \frac{n^2-4}{\rho^4} D\right) X_n = 0 \end{aligned} \quad (15)$$

Решение линейного дифференциального уравнения (14) при любом законе изменения жесткости $D(\rho)$ отсутствует.

Для профилей пластины, определяемых выражением

$$D(\rho) = A\rho^{-m} \quad (16)$$

где A, m — постоянные, уравнение (15) переходит в

$$\begin{aligned} X_n^{IV} + \frac{2(1-m)}{\rho} X_n''' - \frac{1+2n^2+m(1+\kappa^*-m)}{\rho^2} X_n'' + \\ + \frac{(1+m)(1+2n^2+m\kappa^*)}{\rho^3} X_n' - \frac{n^2[4-n^2+m(3+m\kappa^*+\kappa^*)]}{\rho^4} X_n = 0 \end{aligned} \quad (17)$$

Введем обозначения

$$\begin{aligned} \eta = \frac{\rho}{R}, \quad \alpha = 1 + n^2 + 0.5(1 + \kappa^*)m + 0.25m^2 \\ \beta = \frac{1}{16}(2+m)^4 + \frac{1}{4}(2+m)^2[2n^2 - m(1 - \kappa^*)] + \\ + n^2[n^2 - 2 - m - (1+m)(2 + m\kappa^*)] \\ a^2 = \alpha + \sqrt{\alpha^2 - \beta}, \quad b^2 = \alpha - \sqrt{\alpha^2 - \beta} \end{aligned} \quad (18)$$

$$c^2 = 3 + 0.5m, \quad \delta = \sqrt{\frac{\alpha + \sqrt{\alpha^2 - \beta}}{2}}, \quad \varepsilon = \sqrt{\frac{-\alpha + \sqrt{\alpha^2 - \beta}}{2}}$$

Тогда решение уравнения (17) может быть представлено в виде:
если $\alpha^2 > \beta = 0$

$$X_n(\eta) = B_1\eta^{a+c-2} + B_2\eta^{-a+c-2} + B_3\eta^{b+c-2} + B_4\eta^{-b+c-2} \quad (19)$$

если $\alpha^2 - \beta < 0$

$$\begin{aligned} X_n(\eta) = \eta^{1+1.5m} \{ \eta^\delta [B_1 \cos(\varepsilon \log \eta) + B_2 \sin(\varepsilon \log \eta)] + \\ + \eta^{-\delta} [B_3 \cos(\varepsilon \log \eta) + B_4 \sin(\varepsilon \log \eta)] \} \end{aligned} \quad (20)$$

К решению (19) или (20) должен быть присоединен частный интеграл уравнения (10), зависящий от структуры его правой части.

Выражения (19) и (20) определяют с точностью до постоянных интегрирования B_1, B_2, \dots функцию усилий $\Phi(\rho, \theta)$ в задачах изгиба или растяжения круглых пластин профиля (16).

Соответствие формы решения (19) или (20) конкретной задаче теории упругости зависит, как видно, от знака выражения

$$\alpha^2 - \beta = (m + 2)(3\kappa^* + 2)n^2 + 0.25(1 - \kappa^*)^2 m^2 \quad (21)$$

Для ориентации приводим некоторые критерии.

Решение (19) относится к случаю изгиба пластин, когда

- 1) $m \geq 0$
- 2) $-\frac{2}{3} < m < 0$
- 3) $-\frac{2}{3}\nu^{-1} < m < -\frac{2}{3}$ при $n < 0.375(1 - \nu)m$

и к плоской задаче, если

- 2) $0 < m \leq \frac{2}{3}\nu^{-1}$
- 3) $-\frac{2}{3} < m < 0$ при больших n

Решение (20) относится к случаю изгиба пластин, когда

$$-2 < m < -\frac{2}{3} \text{ при больших } n$$

и к плоской задаче, если

$$-\frac{2}{3} > m > \frac{2}{3}\nu^{-1}$$

В заключение заметим, что известные решения частных задач об изгибе, растяжении и колебании^[1-3] круглых пластин «гиперболического» профиля заключаются как частные случаи в решении (19).

Поступила 22 I 1952

Институт строительной механики
Академии Наук УССР

ЛИТЕРАТУРА

1. Левин А. В. Расчет на статический изгиб и на вибрацию дисков гиперболического профиля. ЖТФ. 1937. Т. VII. Вып. 17.
2. Уманский Э. С. Изгиб диска гиперболического профиля контурной нагрузкой, обладающей циклической симметрией. Труды Ин-та строит. механики АН УССР. 1950. № 15.
3. Итенберг Б. З. Напряженное состояние диска гиперболического профиля под действием несимметричной нагрузки. Труды Ин-та строит. механики АН УССР. 1950. № 13.